

I-6 遮蔽性構造物の流体抵抗の函数形の決定に関する研究。
-特に非定常流下での抵抗表示について-

山口大学工学部
九州大学農学部

○金山 和雄, 藤原輝男.
田中宏平, 戸原義男.

1 まえがき

海岸には連続した空隙を有し、水流を容易に通過させる。いろいろ遮蔽性構造物が数多く見られる。たとえば、
培石工、根固工、消波工、離岸堤、潜堤などである。これらに波が入射するとそのエネルギーの一部は前面で反射され、残りは遮蔽性構造物内に侵入し、マサツ等で消費されて行く。このエネルギーの消費機構は波高、波長、前面水深、などの波の性質、遮蔽性構造物の性質など数多くのものが寄与しており複雑なものと言える。
この種の問題につけて従来から多くの研究がなされているがこれら構造物の流体抵抗の評価をするかと言う点で問題を残しているようである。多くの研究は定常流下での流体抵抗と非定常流下でのそれを等しいと仮定し、定常流下での抵抗係数をそのまま非定常下に適用しているのである。そこで著者達は抵抗係数の概念を導入し、非定常時に運動運動下での遮蔽性構造物の流体抵抗の表示について研究を進めた。これは遮蔽性構造物の規模の決定、及び機能の適正化評価を行う上に有意である。

2 理論的考察

遮蔽性構造物をFig-1に示す様に単純な遮水体モデルにおよがえて考察を進める。

座標はFig-1に示す通りである。

2-1 入射波と長波の場合

微小振幅を仮定し、抵抗を抵抗係数で表示すると、オイラーの方程式より基本式と1次式を得る。

$$\frac{\partial u}{\partial t} = -g \frac{\partial \eta}{\partial x} - f u \quad (1)$$

連続式と1次式を導く。

$$\frac{\partial \eta}{\partial t} + h \frac{\partial u}{\partial x} = 0 \quad (2)$$

境界条件として次式を与える。

$$\begin{aligned} x=0 & \quad \eta = \frac{H_0}{2} \sin \omega t \\ x=\infty & \quad \eta = 0 \end{aligned} \quad \left. \right\} \quad (3)$$

(1), (2)より u を消去すると

$$\frac{\partial^2 \eta}{\partial x^2} - \frac{1}{gh} \frac{\partial^2 \eta}{\partial t^2} - \frac{f}{gh} \frac{\partial \eta}{\partial x} = 0 \quad (4)$$

(4)の一般解として次式を得る。

$$\eta = \frac{H_0}{2} \gamma \left\{ \int_0^\infty (C_1(\alpha) e^{i\omega t + \theta_1 x} + C_2(\alpha) e^{i\omega t - \theta_2 x}) d\alpha \right\} \quad (5)$$

(3)式を考慮して次式を得る。

$$\eta = \frac{H_0}{2} \gamma \left(e^{i(\omega t - nx) - m x} \right) = \frac{H_0}{2} e^{-m x} \sin(\omega t - nx) \quad (6)$$

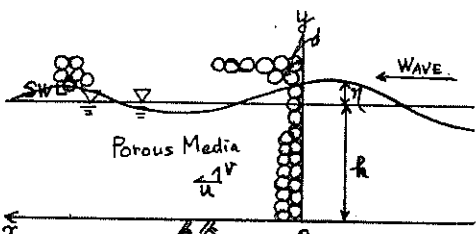


Fig-1. Notation and definition of Symbols.

ここで η , θ_1 , θ_2 , m , n は次式である。

$$\begin{aligned} \theta_1 &= -\theta_2 = m + \alpha n \\ m &= \sqrt{\frac{\delta^2}{2gh} \left[\sqrt{1 + (\frac{f}{\omega})^2} + 1 \right]} \end{aligned} \quad \left. \right\} \quad (7)$$

遮水体内部の運動 u は (2), (6) 式より、運動 V は $\frac{\partial u}{\partial x} + \frac{\partial v}{\partial y} = 0$ より各々次式で与えられる。

$$u = \frac{H_0}{2} \frac{\gamma \beta e^{-mx}}{h \sqrt{m+n}} \sin \left\{ \alpha \left(t + \frac{x}{\omega} \right) - nx \right\}, \quad (8)$$

$$\therefore \tan \alpha = \tan^{-1} \left(\frac{m}{n} \right)$$

$$v = \frac{H_0}{2} \frac{\gamma \beta e^{-mx}}{n} \cos \alpha \left(\alpha t - nx \right) \quad (9)$$

2-2 入射波が浅水表面波の場合

音波の場合と同様であるが速度分布を有するので平均速度分布を用いて表示する。すなはつ式

$$U(x, y, t) = \frac{gh \sinh k y}{\sinh kh} \bar{U}(x, t) \quad (10)$$

で置換すると

基本式と1次式を得る。

$$\frac{\partial \bar{U}}{\partial t} = -g \frac{\partial \bar{y}}{\partial x} - f \bar{U} \quad (11)$$

$$\frac{\partial \bar{y}}{\partial t} + f \frac{\partial \bar{U}}{\partial x} = 0 \quad (12)$$

同様にすなはつ \bar{U} に対して次式を得る。

$$\bar{y} = \frac{H_0}{2} e^{-mx} \sin(\delta t - nx) \quad (13)$$

$$\bar{U} = \frac{H_0}{2} \frac{\delta n e^{-mx}}{m n^2} \frac{\cosh nh}{\sinh kh} [m \cos(\delta t - nx) + n \sin(\delta t - nx)] \quad (14)$$

$$V = - \int_0^L \frac{\partial \bar{U}}{\partial x} dy = \frac{H_0}{2} g e^{-mx} \frac{\sinh nh}{\sinh kh} \cosh(\delta t - nx) \quad (15)$$

2-3 無次元量

直水体に沿って入射した場合、その現象を規定する無次元量を構成する物理量としては次のものが考えられる。

F : 直水体前面平均流速, g : 重力, P : 水の密度,

M : 水の粘性係数, H : 波高, L : 波長, d : 半径,

h : 水深 これらに次元解析を行なうと次式を得る。

$$F(F_r, Re, H/L, h/d) = 0 \quad (16)$$

ここで F_r はフルード数, Re はレイルス数である。

3 実験的考察

3-1 実験装置及び方法

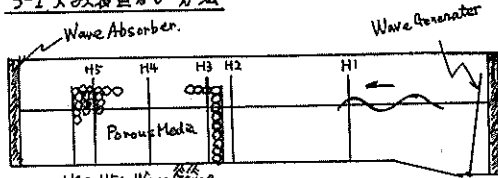


Fig. 2. Arrangement for the Test channel.

実験に使用した装置は Fig. 2 に示すところである。直水体長

は 1m とし、3 個のガラス球(直径 2.3, 1.43, 1.2cm)を用

い直水体を構成した。これに複数の波を入射させて、

沖波、直水体前面、直水体内の波高を測定した。

3-2 抵抗係数の決定

(6) 式に実験値を用い、 f を未知とする (4) 式より λ を求め る。そしてこの λ と (6) 式に示す無次元量の関係を試行錯誤的に求め Fig. 3 なる結果を得た。

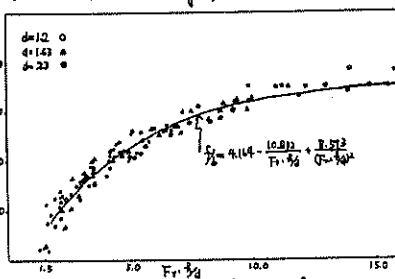


Fig. 3 Relationship between $f^{1/4}$ and $f^{3/4}$.

Fig. 3 の実験式は $F_r^{1/4} > 1.5$ の適用限界を有する。この範囲におけるランクが豊富な λ の妥当性があると言える。こゝで妥当性を示す意味で実験式を (6), (7) 式に用いて直水体内の水面形を計算し、実験値と対比せたものが Fig. 4 である。

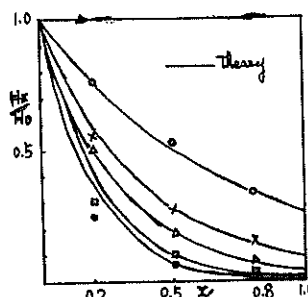


Fig. 4. Relationship between H_3/H_0 and λ .

(R 例)

	B_P	H_L	R_C	$\% \Delta$
○	0.0128	0.154	13.0	
△	0.027	0.24	25.0	
×	0.036	0.147	8.7	
□	0.053	0.163	20.8	
●	0.071	0.286	25.0	

Fig. 4. Relationship between H_3/H_0 and λ .

Fig. 4 において直水体勾配が大きくなると理論と実験値の対応が良くなつた。これは微小振幅波を仮定して理論を導いた事による。直水体勾配 0.042 以下では対応が非常に良い。

4 まとめ

1) かけらの妥当性をもつて非定常状態での抵抗係数の表示を得た。

2) 抵抗係数の表示式を用いて直水体内的波形が計算でき、実験値との対応も良好である。

3) 直水体内の流速の推定を (9), (14), (15) より得た結果に適用した。

5 参考文献

- 1) 近藤淑郎, 第 16 回海岸工学講演集 321~327
- 2) Ward, J.C., ASCE, HY5, PPT-II, September 1944